

# 1-Chlorobutadiene-Butadiene Copolymer의 水架橋反應에 관한 研究( I )

柳 德 善 · 白 南 哲  
\*慶熙大學校 化學工學科

## A Study on Curing Reaction of 1-Chlobutadiene-Butadiene Copolymer by Moisture

Chong-Sun Yoo, Nam-Chul Paik

Department of Chemical Engineering, Kyung Hee Univ.

### ABSTRACT

In this study, as one of the developing ways of the functional elastomer, improvement of the functionality of CB-BR was attempted through moisture curing reaction.

The curing reaction of CB-BR was determined with an use of 3-aminopropyltriethoxysilane(APS) as a crosslinking agent, also a solution reaction with an active chlorine of CB-BR was elucidated by using a reaction kinetics theory and a study of physical property was made through moisture curing on the compound of 3-aminopropyltriethoxysilane and CB-BR.

The results of this study obtained are as follows:

- CB-BR reacted easily with APS in the liquid state and the reaction rate coefficient and activation energy were as follows:

Temperature (°C)	$k \times 10^3$ ( $\text{L} \cdot \text{mol}^{-1} \text{ sec}^{-1}$ )	Ea (KJ. $\text{mol}^{-1}$ )
70	2.04	
90	3.10	26.67
100	4.95	

- Optimum pressure condition of moisture cured elastomer(CB-BR+APS) was 20 minutes at 150°C, and the crosslinked elastomer was close to the theoretical value ( $q=1$ ) for Flory's equation( $\frac{\alpha}{\alpha-1} = q\nu RT$ )

## 1. 緒論

前報<sup>1)</sup>에서 報告된 1-chlorobutadiene-butadiene copolymer(CB-BR)은 50℃에서의 高温乳化重合<sup>2)</sup> 및 redox系開始劑를 利用한 低温乳化重合<sup>3)</sup>에 依해서도 共重合體를 얻을 수 있으며, 이 重合體는 二重結合외에 allyl位의 活性鹽素, 3,4-結合의 鹽素 그리고 水酸基를 作用基로 가지고 있는 새로운 butadiene系合成고무이다. 한편 CB-BR은 黃加黃以外에 chloroprene고무의 加黃劑로써 알려져 있는 2-mercaptoimidazol에 依한 架橋가 可能하고 架橋物의 物性도 良好한 것으로 報告되어 있으며<sup>3)</sup> 또한, tolylene diisocyanate와 isopropylidenedicyclohexyldiisocyanate에 依한 架橋도 報告되어 있다.<sup>4)</sup>

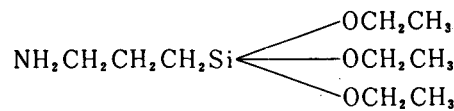
本 實驗은 彈性體의 架橋에 있어서 二重結合을 利用한 黃에 依한 종래의 架橋形態를 피하고, プレス架橋의 단점인 連續架橋가 불가능한 점과, 극히 제한된 成形技術등의 제반 問題點을 補完하는 것을 目的으로 當初 FRP等의 無機充填劑 또는 表面處理劑로 利用됐으며<sup>5~7)</sup> 또한 고무用 無機充填劑 分野에 있어서도 表面處理劑로 利用되어온<sup>8~10)</sup> Silane coupling劑인 3-aminopropyltriethoxysilane(APS)를 架橋劑로서 使用하여 물에 依한 架橋를 함으로써 CB-BR에 새로운 機能性의 附與를 檢討하였다.

## 2. 實驗

### 2.1 試藥

CB-BR latex는 東洋曹達(株)製를 既報<sup>1)</sup>와 같이 精製, 使用하였으며 元素分析法, UV法 및

文獻<sup>3)</sup>에 依해 定量한 作用基의 含量을 table 1에 나타내었다. 3-aminopropyltriethoxysilane(日本, 信越化學工業(株)製)은 減壓蒸溜해서 利用하였으며 構造는  $\begin{array}{c} \text{OCH}_2\text{CH}_3 \\ | \\ \text{NH}_2\text{CH}_2\text{CH}_2\text{CH}_2\text{Si} \\ | \\ \text{OCH}_2\text{CH}_3 \\ | \\ \text{OCH}_2\text{CH}_3 \end{array}$ 과 같다.



Gas-chromatography의 標準物質로서 使用한 *n*-undecane 및 silanol基의 縮合觸媒로 使用한 Di-*n*-butyltindilaurate는 和光純藥工業(株)製特級試藥을 利用하였다. 고무用試藥 및 기타 試藥은 市販品을 그대로 使用하였다.

### 2.2 CB-BR과 APS와의 溶液反應

#### 2.2.1 APS와 CB-BR의 反應

三方 cock, 還流管, magnetic bar 및 鹽化칼슘管을 갖춘 200ml의 플라스크내에서 CB-BR 약 3.000g을 톨루엔 100ml에 溶解시켜 3.5wt%의 톨루엔용액 약 100ml를 준비하였다. 이 溶液에 약 63.00μl의 *n*-undecane을 가한 후 이 溶液을 기름중탕에서 所定溫度로 가열한 후 APS 약 252.00μl( $r = [\text{APS}] / [\text{Cl}^*] = 2.0$ , *n*-undecane의 4倍量)을 가하고 暗所, 窒素雰圍氣下에서 反應을 開始시켰다. 여기에서  $r = 2.0$ 으로 한 까닭은 APS가 CB-BR中의 活性鹽素에 100% 反應한 경우에 있어서도 未反應 APS의 定量을 쉽게 하기 위해서였다. 反應中 所定時間의 試料 3ml를 取하여 3ml의 에탄올에 고무를 浸漬시켰다. 이 溶液을 3分間 잘 혼돈다음 上澄液中에 包含되어 있는 未反應의 APS量을 GC로서 구하였다.

### 2.3. CB-BR의 水架橋

#### 2.3.1 配合과 架橋條件

6 inch two roll open mill에서 CB-BR을 5分間 素練하였다. 그리고 roll上에서 먼저 APS를 다음에 DBTDL를 配合하였다.

여기에서 素練, 配合 및 薄通에 要하는 時間은 16分으로 통일하였다. 그리고 配合고무를 所定條件에서 가열 press하여 未架橋 고무 sheet

Table 1. Properties of CB-BR latex

Total solid content(wt%)	21.8
pH	9
[OH] × 10 <sup>4</sup> (mol/g)	1.54
[Cl] active × 10 <sup>4</sup> (mol/g)	1.72
[Cl] total × 10 <sup>4</sup> (mol/g)	3.89

Table 2. Compounding recipe of moisture-curable CB-BR.

	(phr)
CB-BR	100
APS	5.71
DBTDL	0.29
r <sup>1)</sup>	1.5
r <sup>2)</sup>	0.05
Press condition	100°C × 30, 40min 120°C × 10, 20, 30min 150°C × 10, 20, 30min
Soaking condition	70°C × 0, 6hr 24, 72hr

1) Molar ratio of [APS]/Cl<sup>+</sup>

2) Molar ratio of [DBTDL]/[APS]

를 얻었다. 또한 未架橋고무 sheet를 70°C의 溫水에 所定時間 浸漬해서 架橋고무를 얻었으며 實驗에 利用한 配合表를 table 2에 나타내었다.

### 2.3.2 膨潤試驗

架橋體 Sheet로 부터 25 × 8 × 1 mm의 試驗片을 잘라내어 벤젠 100ml에서 72時間 浸漬했다. 그리고 膨潤試料中의 Gel고무의 容積分率  $V_r$  및 Gel分率  $g$ 를 계산하여 Flory-Rehmer式<sup>11, 12)</sup>에 의해 가교밀도  $\nu_s$ 를 구했다.

### 2.3.3 引張試驗

架橋體 Sheet로 부터 KS 3號 단밸형 시험편을 만들어 2 cm의 간격으로 표시를 한 후 引張試驗을 하였다. 測定溫度는 室溫이었고 引張速度는 100mm/min이었다.

測定用 試驗機는 日本 新興通信工業(株)製 TOM/200D型 万能引張 試驗機를, 記錄計로서는 RC 9001型 X-Y-T 記錄計를 利用하였다.

## 3. 結果 및 考察

### 3.1 CB-BR과 APS와의 溶液反應

#### 3.1.1 CB-BR에 對한 末反應 APS의 定量

濃度가 다른 3種類의 APS溶液을 標準溶液으로 각각에 對하여 그 APS含有量을 GC에 依해서 定量하여 얻은 gas-chromatogram을 fig 1에 나타내었다. 各 peak는 圖中에 나타낸 것

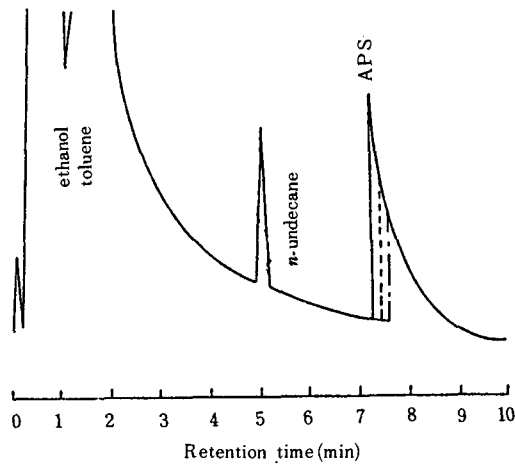


Fig. 1. Gas chromatogram.

APS content : — 16 μl ····· 12 μl  
— ··· 8 μl

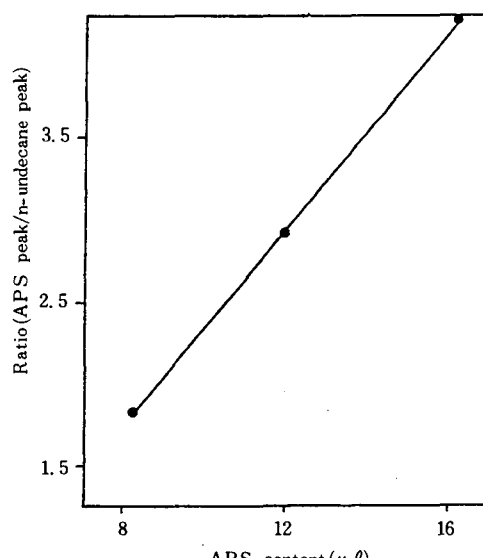


Fig. 2. Calibration curve for the determination of APS.

처럼 歸屬되었고 또 APS가 歸屬한 peak는 標準溶液中 APS含有量이 감소할수록 작게 되었다.

gas-chromatogram의 各 peak로 부터 標準物質인 n-undecane의 peak面積과 APS의 peak面積比를 구하여 檢量線을 作成하였으며 그 檢量線을 fig 2에 나타내었다. 여기서 n-undecane의 peak面積은 半值幅法에 의해 算出하였으며 APS의 peak面積은 切取重量法으로 구했다. fig 2

에서 보는 바와 같이 APS 添加量과의 比는 良好한 直線關係를 나타내었다.

### 3.1.2 CB-BR에 對한 APS의 反應

톨루엔 溶液中에서 CB-BR과 APS를 70°C, 90°C 및 100°C에서 反應시켜 순서대로 sampling 한 다음 2.2의 方법으로 APS를 定量하여 反應率을 구했다. 測定한 gas-chromatogram의 一例를 fig. 3에 나타내었으며 또한 時間-反應率曲線을 fig. 4에 나타내었다. fig. 4를 보면 CB-

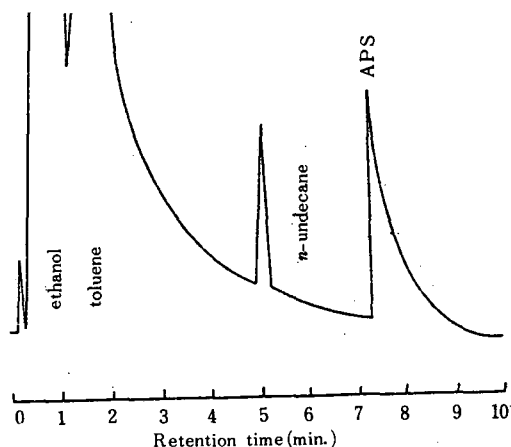


Fig. 3. A typical gas chromatogram of the supernatant solution after precipitation CB-BR with ethanol from reaction mixture of CB-BR with APS.

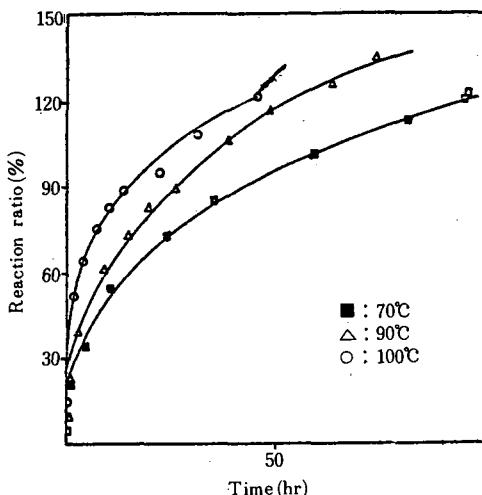
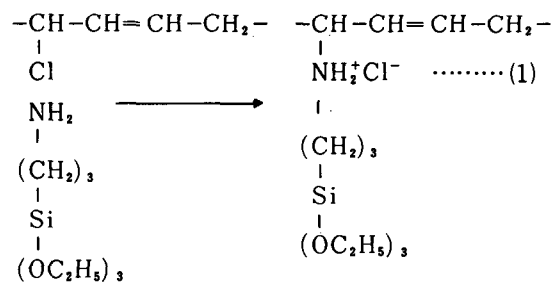


Fig. 4. Time-conversion curves for the reaction of CB-BR with APS.

BR과 APS 사이의 反應率은 反應溫度 100°C의 경우는 30時間, 70°C와 90°C의 경우는 60時間以内에 反應率 100%를 초과하였다. 이 原因으로는 다음의 두 가지 理由로 생각되는데 첫째는 CB-BR은 主鎖에 活性鹽素以外에 水酸基와 3,4結合의 鹽素를 가지고 있는 彈性體이기 때문에 CB-BR에 APS가 反應할 때 活性鹽素以外에 水酸基나 3,4結合의 鹽素도 APS의 一部와 反應하게 되고 둘째는 이 反應率은 末反應의 APS를 定量하여 算出하기 때문에 末反應 APS가 縮合하므로 反應率이 過剩으로 評價된 것이 아닌가 생각된다.

그러나 CB-BR과 APS 사이의 反應에 있어서 反應速度常數의 算出은 各 反應溫度에서의 극히 初基의 反應時間에서 測定한 データ를 利用하기 때문에 活性鹽素 이외의 다른 置換基와의 反應과 反應系 中에 물의 浸入에 依한 APS의 縮合은 무시할 수 있다고 생각된다.

한편 CB-BR과 APS 사이의 反應은 아래의 反應式(1)과 같은 機構로 進行하는 2分子 反應이라고 豊想된다.



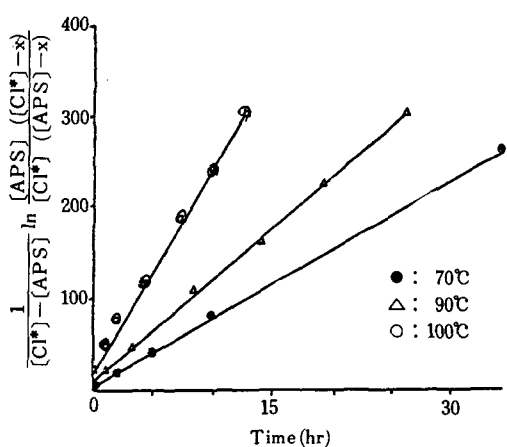
여기에서 CB-BR 중의 活性鹽素의 初基濃度를  $[\text{Cl}^*]$ , APS의 初基濃度를  $[\text{APS}]$ 라고 하면  $t$ 時間後의 活性鹽素가 APS와  $x$ 만큼 反應해 있다고 하면 2次速度式은 式(2)와 같이 나타낼 수 있다.

$$\frac{dx}{dt} = K([\text{Cl}^*] - x)([\text{APS}] - x) \quad \cdots \cdots \cdots (2)$$

變數 分離해서 積分하면 (3)式이 얻어진다.

$$\frac{1}{[\text{Cl}^*] - [\text{APS}]} \ln \frac{[\text{APS}]([\text{Cl}^*] - x)}{[\text{Cl}^*]([\text{APS}] - x)} = Kt
 \cdots \cdots \cdots (3)$$

그리고 CB-BR과 APS의 反應이 2次로 進行한다고 假定하면 (3)式의 左邊을  $t$ 에 대해서



**Fig. 5. Second-order plots for the reaction CB-*BR* with APS.**

plot하면 原點을 지나는 直線이 얹어져 그 기울기가 2次反應速度常數가 된다.

各各의 反應溫度에서 얻은 結果를 (3)式에 따  
라서 plot한 結果를 fig. 5에 나타내었다. fig. 5  
에서 알 수 있는 바와 같이 全 溫度에 있어서  
良好한 直線關係가 얻어져 反應은 2次反應으로  
進行하고 있는 것이 확인되었다. 그리고 直線의  
기울기로 부터 2次反應速度常數를 求得了.

또한 Arrhenius式<sup>13)</sup>에基礎하여 얻어진 各溫度에서의 2次反應速度常數의對數를 絶對溫度의逆數에 대해서 plot하였다. 그 결과를 fig. 6에 나타내었다.

이 기울기로 부터 活性化에너지  $E_a$ 를, 切片으로 부터 頻度因子  $A$ 를 算出하였다. fig. 5에 에의 直線의 기울기로 부터 求한 各 温度에서의 2次反應速度常數와 또 fig. 6로 부터 求한 活性化에너지와 頻度因子를 table 3에 一括 表示하였다.

이들 速度常數와 活性化에 너지는 反應性이 큰  
特殊 彈性體인 bromobutyl rubber(BIIR)<sup>14)</sup> 와  
비해 큰 것으로 나타났으며 chlorosulfonic po-  
chlorobutyl rubber(CIIR)<sup>14)</sup>에 비해 큰 것으로  
나타났으며 chlorosulfonic polyethylene(CS-  
M)<sup>15)</sup>에 비해서는 反應速度가 느린 것으로 나타-  
났다. 즉 90°C에 있어서의 CB-BR과 CIIR, BIIR

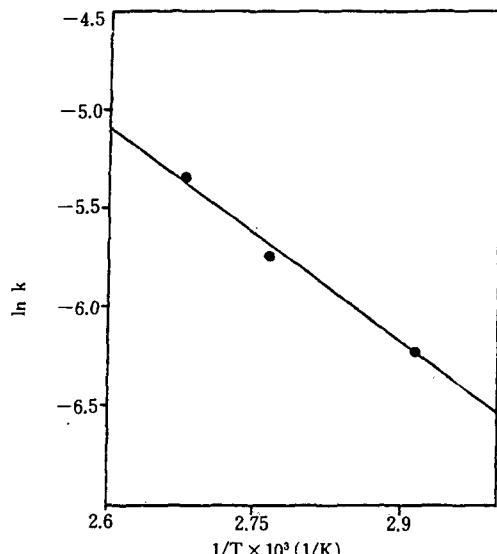


Fig. 6. Arrhenius plot for the reaction of CB-BR with APS.

**Table 3. Kinetic data for the reaction of CB-  
-BR with APS**

Temp. (°C)	$K \times 10^3$ ( $\ell \cdot \text{mol}^{-1} \text{ sec}^{-1}$ )	Ea (kJ · mol <sup>-1</sup> )	A ( $\ell \cdot \text{mol}^{-1} \text{ sec}^{-1}$ )
70	2.04		
90	3.10	29.67	$6.5 \times 10$
100	4.95		

의 2차 반응速度常數를 比較하면 CB-BR의 2次反應速度常數는 CIIR( $0.44 \times 10^{-4} \ell/mol\ sec$ )의 70倍, BIIR( $1.3 \times 10^{-3} \ell/mol\ sec$ )의 2.4倍, CSM( $85 \times 10^{-3} \ell/mol\ sec$ )의 0.05倍가 되었다.

또한 活性화에너지의 측면에서 反應性을 검토한 결과 CB-BR은 CIIR(69KJ/mol)의 2.3倍, BIIR(41KJ/mol)의 1.4倍, CSM(89KJ/mol)의 2.96倍가 되었으며 이들 彈性體의 反應性의 크기는 CB-BR > BIIR > CIIR > CSM의順으로 되을 암았다

여기에서 CSM의 活性化에너지는 할로겐系彈性體에 比해 대단히 큰 값을 나타내고 있는데 그 理由는 CB-BR, CIIR, BIIR 등 ally 位의活性할로겐을 갖는 彈性體의 反應이  $S_N2$ 反應에 있어서 雙極子-雙極子 反應인 것에 대하여 C-CSM의 反應은 CSM中의 클로로술폰基의 S原子

가 酸素原子의 存在에 의해서 이온적인 正電荷를 갖게 되며 이온-雙極子 反應型의  $S_N2$  反應이기 때문이라 생각된다<sup>16)</sup>

한편 Moelwyn-Hughes<sup>17)</sup>는 2分子求核置反反應 즉  $S_N2$ 反應에 있어서 雙極子-雙極子 反應群과 이온-雙極子 反應群에 대한 速度論的研究結果 雙極子-雙極子 反應에서는 活性化에너지가 46~63KJ/mol인데 비해서 이온-雙極子 反應에서는 活性化에너지가 84~88KJ/mol이라고 報告하였다.

따라서 反應速度가 적은 CB-BR이 反應速度가 큰 CSM에 比하여 活性化에너지가 적게 된다고 생각된다.

### 3.3 CB-BR의 水架橋

#### 3.3.1 水架橋에 미치는 press condition의 影響

Table 3의 配合을 利用하여 100°C × 30, 40分, 120°C × 10, 20, 30分, 150°C × 10, 20, 30分의 press condition에 따라 架橋體를 얻었다. 여기에서 温水浸漬은 70°C였다<sup>18)</sup>

또한 APS의 量은 APS가 全部 反應했을 때를 假定하여 過剩( $r=1.5$ )으로 넣었다.

温水浸漬時間에 對한 CB-BR 水架橋體의 架橋密度  $\nu_s$ 의 變化를 fig. 7에, 引張強度  $T_B$ 의 變化를 fig. 8에 나타냈으며 切斷時의 伸張率  $E_B$ 의 變化를 fig. 9에, 100% 伸長時의 modulus

$M_{100}$ 을 fig. 10에 나타냈다.

fig. 7로 부터 모든 條件下에서 APS를 配合한 CB-BR은 70°C의 温水에 浸漬하므로서  $\nu_s$ 가 증가하였으나 浸漬 6時間以後부터  $\nu_s$ 가 減少하였다. 또한 모든 試料에 있어서 温水浸漬前에도 架橋가 存在함을 알 수 있는데 이 温水浸漬前의 架橋는 热 press의 温度가 낮을수록, press時間이 짧을수록 低減되고 있다. 이러한 現象은 大氣中의 水分에 의한 것은 아니며, 热에 의해 APS의 amine基가 CB-BR의 活性鹽素와 反應한 것으로 예상된다.

fig. 8과 fig. 10의  $T_B$ ,  $M_{100}$ 에 있어서는 150°C 30分의 試料를 除外하고 長時間 press한 試料가 強度가 큰 것으로 나타났는데 150°C 30分에 있어서 強度가 떨어지는 理由는 過剩의 架橋密度에 의한 것이라 생각된다.

그리고  $T_B$ ,  $M_{100}$ 에 있어서는 強度가 浸漬6時間까지 증가하다가 그 後부터는 떨어지는 경향을 나타내고 있는데 이러한 現象은 다음 두 가지의 原因때문이라 생각된다.

첫째, CB-BR의 末反應鹽素가 水中浸漬함으로써 脱鹽酸하여 (5)(6)와 같은 反應이 진행하므로서 加水分解反應을 일으킨다.

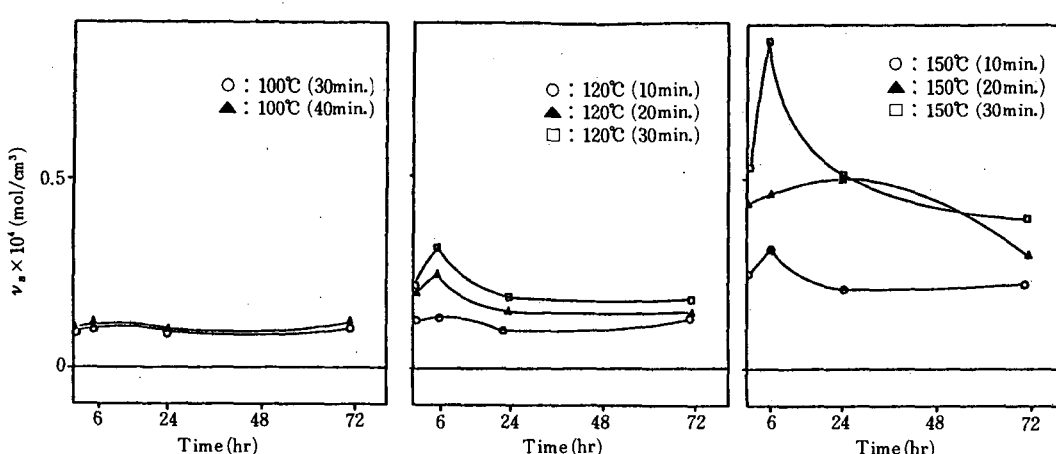
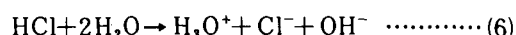


Fig. 7. Effect of soaking time at 70°C on  $\nu_s$  moisture-cured CB-BR.

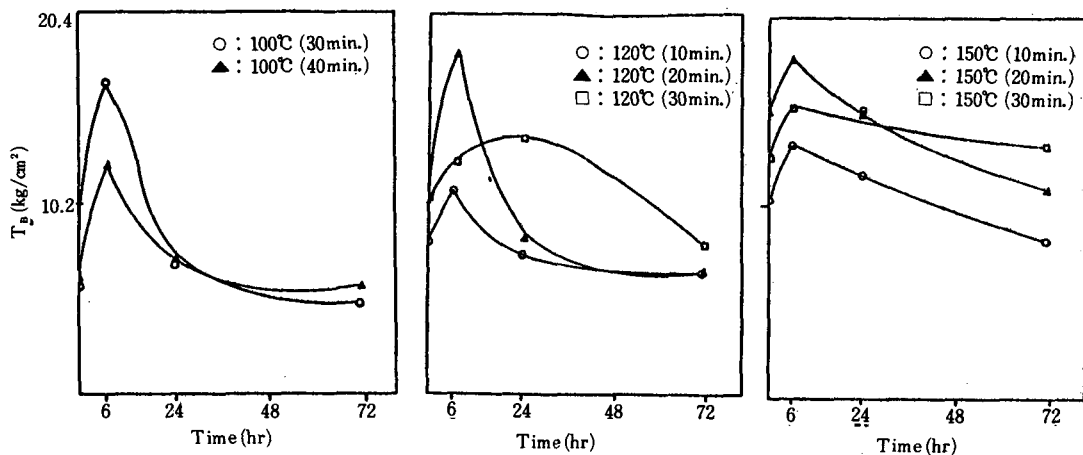


Fig. 8. Effect of soaking time at 70°C on  $T_3$  moistured CB-BR.

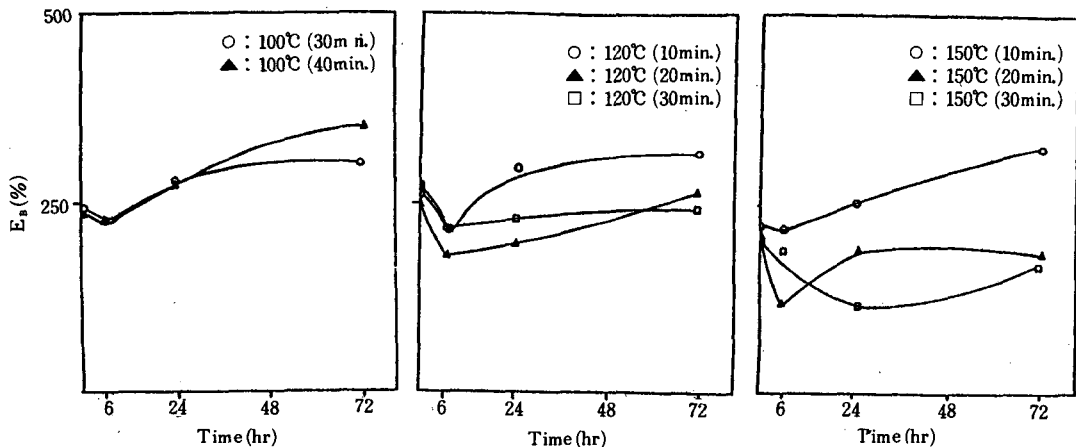


Fig. 9. Effect of soaking time at 70°C on  $E_3$  moisture-cured CB-BR.

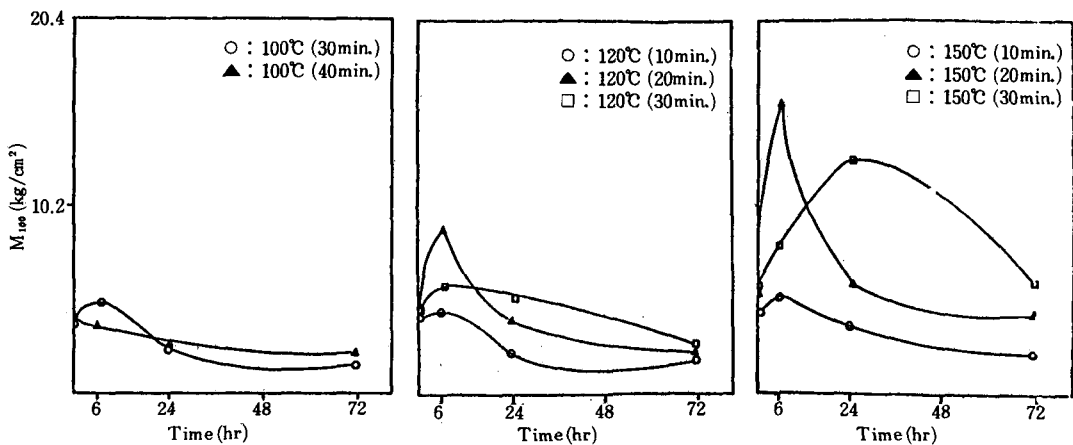
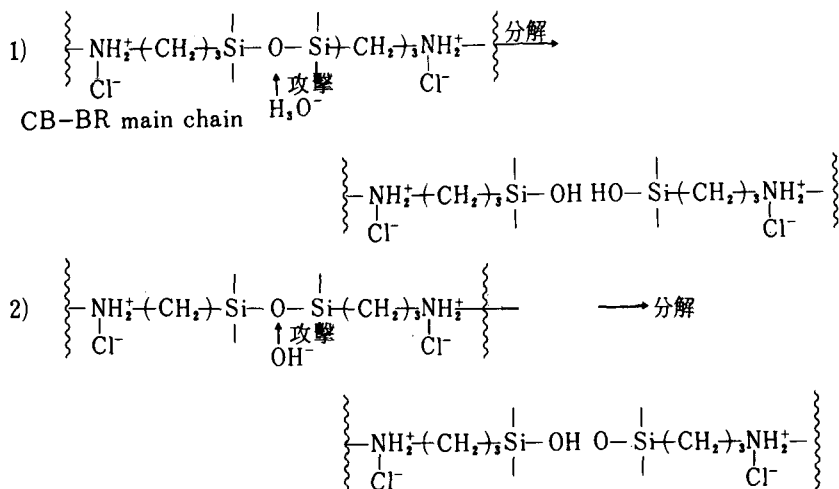


Fig. 10. Effect of soaking time at 70°C on  $M_{100}$  moisture-cured CB-BR.



둘째, APS의一部가 CB-BR의水酸基와結合하여 있다면 이들結合을 한架橋點은 Si-O-C의結合形態이기 때문에加水分解가 쉽다.<sup>19)</sup> 따라서浸漬時間이 길어질수록加水分解하여架橋點이멀어지게된다.

그러나 이러한問題點은 Silica와 같은充填劑로補強性을 높이면 쉽게 解決될 수 있다고 생각된다.

한편伸張率( $E_B$ )은全般的으로  $T_B$ 와는反對의傾向을 나타냈으며 200~300%程度였다. 또한이系에서의水架橋反應을 Flory式<sup>20)</sup>에依하여架橋進行의妥當性을檢討하여 fig. 11에나타내었다.

Flory's equation

$$\nu_s = \frac{\sigma}{RT(\alpha - \alpha^{-2})} \quad \dots \dots \dots (7)$$

다시쓰면

$$\sigma = \nu_s RT(\alpha - \alpha^{-2}) \quad \dots \dots \dots (8)$$

$\alpha$ 가작을경우近似式을쓰면

$$\alpha = \nu_s RT(\alpha - 1) \quad \dots \dots \dots (9)$$

$$\text{따라서 } \frac{\sigma}{\alpha - 1} = q \nu_s RT \quad \dots \dots \dots (10)$$

바꿔쓰면

$$\frac{T_B}{E_B/100} = q \nu_s RT \quad \dots \dots \dots (11)$$

Fig. 11을보면 4가지架橋條件모두直線은되지않았지만이座標로부터기울기 $q$ 를算出하였다.  $q$ 의값(理論值 $q=1$ )은浸漬時間0에

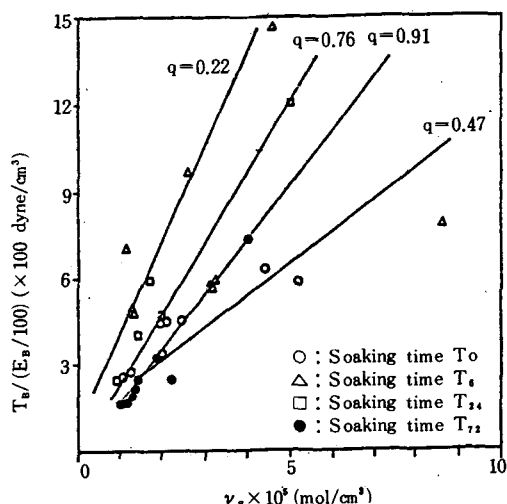


Fig. 11. The relation of  $\nu_s$  and  $T_B/E_B$  on Flory's equation.

있어서는架橋에依한結合이아닌物理的結合에<sup>21)</sup>의존해서조금上昇하였으나  $T_B$ 부터  $T_{72}$ 까지漸次적으로理論值인1에가까워架橋가進行됨을알수있었다.

以上의結果로부터最適press條件을살펴보면100°C의경우는架橋點의形成率이적으며試料의成型이不充分했고, 또한120°C의경우는press時間20分의試料는 $T_B$ 는컸으나 $M_{100}$ 이적었다. 따라서150°C×20분의條件이가장適合한것으로判明되었다.

## 4. 要 約

本研究는 機能性 elastomer 開發의 一環으로서 1-chlorobutadiene-butadiene copolymer (CB-BR)의 水架橋에 依한 機能性의 向上에 그 目的을 두었으며 架橋劑로서 3-aminopropyltriethoxysilane을 利用하여 CB-BR의 活性鹽素와의 溶液反應을 速度論的으로 解析하였다.

그리고 APS와 CB-BR을 實際工程에서 配合하여 水中架橋反應을 進行시켜 이에 따른 物性 檢討를 하므로써 다음과 같은 結論을 얻었다.

1. CB-BR은 溶液系에서 APS와 容易하게 反應하여 이때의 反應 速度常數 및 活性化에너지 is 다음과 같다.

Temperature (°C)	$k \times 10^3$ (1. mol <sup>-1</sup> sec <sup>-1</sup> )	Ea (KJ. mol <sup>-1</sup> )
70	2.04	
90	3.10	29.67
100	4.95	

2. CB-BR+APS 水架橋體의 最適 press 조건은 150°C · 20分이고 이를 架橋體의 物性을 고무彈性體 理論에 의하여 架橋進行의 妥當性을 檢討한 결과 理論值  $q = 1$ 에 近接함을 알았다.

## 參 考 文 獻

1. 柳宗善, 山下晋三, 白南哲: 韓國工學會誌, 22(2), 109 (1987)
2. S. Yamashita, S. Atomori, S. Kohjiya: *J. Appl. Polym. Sci.*, 17, 3049 (1973)
3. S. Yamashita et al.: *Macromolekular Chemie*, 56, 65 (1976)
4. 山下晋三, 糸谷信三, 三道克己, 日化: 11, 1755 (1976)
5. 日本化學編: 化學總說 8 [複合材料] 東京大學出版會, 東京 (1975)
6. 竹鼻三雄: 「FRP - 生產과 技術」 東京, p72 (1971)
7. B. Parkyn: Glass Reinforced Plastics, Butter Worth Co. Ltd., p3 (1970)
8. M. P. Wagner: *Rubber Chem. Technol.*, 47, 697 (1974)
9. D. C. Edwards: *Rubber Chem. Technol.*, 48, 202 (1975)
10. R. K. Pal, S. N. Chakrvarty and S. K. DE: *J. Appl. Poly. Sci.*, 28, 659 (1983)
11. 山下晋三: 「ゴム技術 基礎」, 日本ゴム協會, 東京, p.39 (1983)
12. J. Flory: *J. Chem. Phys.*, 18, 108 (1950)
13. 田中太郎: 物理化學, 化學同人, 日本, 331 (1985)
14. S. Yamashita, et al., *Macromole. Chem.* 186, 1373 (1985)
15. S. Yamashita et al., Unpublished Paper, 京都, (1984)
16. 岡本邦男: 有機反應機構 3, 求核置換反應, p.23, 東京化學同人 (1969)
17. E. A. Moelwyn-Hughes, The Kinetics of Reaction in solution, 2nd ed, Oxford Univ., Press London, p.70, 73 (1947)
18. 山下晋三, 中脇勇一: 日本ゴム協會, 53 (1986)
19. M. Matzner, A. Noshay, L. M. Robeson, C. N. Merriam, P. Barilay, J. R., and J. E. McGrath: *Appli. Poly. Symp.* 22, 143 (1973)
20. 右田哲彦: ゴム公式集, 日本ゴム科學技術委員會, 26, 東京 (1980)
21. 高橋浩, 山下晋三, 提和男: Carbon Black, 講談社, p. 183 (1978)